

KAWASAKI STEEL GIHO

Vol.4 (1972) No.2

R-H

Field Welding Method of Building Steel Structures (R-H Welding Method)

(Chiyomaru Takahashi)

(Yoshikatsu Kawashima)

:

R-H

Synopsis :

R-H welding method is a kind of welding process for column to column, or column to beam joints. This method employs the technical know-how related to welding condition, groove shape, working condition and effect of welding heat. To secure this know-how, the various efficiency tests for the joints were performed to decide the best welding condition and groove shape. By the full and nearly full scale experiments, the study was made on welding specification, shrinkage by welding heat, residual stress and temperature gradient, and, as the results, the safety of the joints was confirmed. Furthermore some other data were obtained from the practical construction site. This paper presents these efficiency tests for the joints, the results of full scale experiments, and supervision of welding method.

(c)JFE Steel Corporation, 2003

鉄骨構造物の粗根拠接工法 (R-H工法)

Field Welding Method of Building Steel Structures (R-H Welding Method)

高 橋 千代丸*

Chiyomaru Takahashi

川 島 義 克*

Yoshikatsu Kawashima

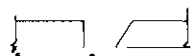
Synopsis:

R-H welding method is a kind of welding process for column to column, or column to beam joints. This method employs the technical know-how related to welding condition, groove shape, working

To secure this know-how, the various efficiency tests for the joints were performed to decide the best welding condition and groove shape. The test results are summarized as follows.

し、低水素系溶接棒 KS-76 で溶接を行なうが、
この方法により、容易に確実な裏波を形成するこ

は、良好な裏波ビードを形成し得る開先条件の制
限範囲が狭いので、FB, SB両方式の選択を適



いいかえると R-H 工法は、一定の溶接方法で
よべての対一母材の溶接を行なうことはできな

体系的工法であるといえる。図4はその体系の手順を解説したフローチャートである。

柱縫手では、部材の製作や建方時の誤差によりルート間隔のバラツキや、上下材の芯ズレによる

焼きつくこともあるのでできない。ルート間隔が

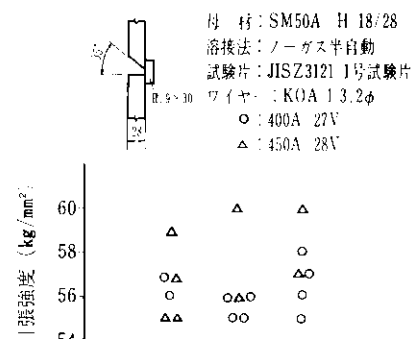
3.3.2 引張、曲げ強度

から、F B方式によるルート間隔の上限値は、初層を2パスで完了できる範囲、すなわち10mmとなる。

ルート間隔11mm以上では初層の2パス目が完了したときに銅板をとりはずし、新しいB F-1を用いて再びセットして3パス目の溶接を行なわなければならない。

これに対してS B方式では、アーク熱による溶け落ちが生じない限り、すなわち手溶接で6mm以上ノーガス半自動溶接で9mm以上の裏あて金を使用すれば、初層のバス数に制限をおく必要はなくなる。

JISに準じた継手の引張、曲げ試験結果を図7～9図、および表2に示す。



硬度測定位置	最高硬さ (Hv:HRc)				
	150	200	250	300	350

表 3 SB方式柱一はりT継手、ルート間隔と初層の溶込み

電流 (A)	運 棒	技量	ルート間隔 (mm)	25
電圧 (V)				

柱材: SM50A H 18/28

横材: SM50A H 40/60

て、上フランジ部のスカラップは裏あて金また

マクロ検査 溶接進路
TR/スカラップ 仕事材:H 13/24
仕様: H 18/28

溶融池の状況を観察しにくいこともあり、正確な溶接作業を期待したい。

法兰ジ部第1層目の溶接は手溶接で行なうこととを原則としている。

しかし、~~てよ~~、最初の第1層目のことを見出す。

重要な溶接部を、しかも不自然な姿勢で行なう溶接法として、ノーガス半自動溶接法の採用は当然困難になってくる。

このような理由から R-H 工法では、特に技能

3・6 溶接部の割れ試験

裏波溶接法は一般に、割れに対して敏感であり、また使用する鋼材も 50kg/mm^2 高張力鋼の厚

実験結果：防山子執道 広井 邦雄 沢田一也 岩田一也

で100°C以上、柱一はり継手で50°C以上である。鉄骨建築の現場溶接では、H形鋼の場合、溶接線について1方向拘束であるのに対し、窓枠型

にし、力学的諸性状に関する測定は実建築に対する断面の大きな左柱とその接合部およびはりに関して行なった。



$$F = \frac{A}{3 \cdot 2} x^3 y + \frac{B}{3 \cdot 2} x y^3 + \frac{C}{3 \cdot 2} x^3 + \frac{D}{3 \cdot 2} y^3 + E x y$$

に選んで、 σ_x , σ_y , τ_{xy} をまず算出する。

結果を Mises の降伏条件式

$$\sigma_y = \sqrt{\sigma_x^2 + \sigma_y^2 - \sigma_x \cdot \sigma_y + 3 \tau_{xy}^2}$$

は支点 A をピンおよび固定としたそれぞれの理論値の中間に位置しており、試験体における支点 A の半固定効果も明瞭に把握されるのみならず、耐力に関しても、実験値と算定値とが良好な一致を示しており、R-H 工法が力学的に正確な接合部を提供していることがわかる。

以上の実大実験より得られた結果を総括すれば、R-H 工法は、その半固定効果を最大限に活用する。

しているが、柱一はり接合部で0.80~1.00mm,



てブラウン管上に映像として写し出すものである。

しかし、超音波探傷試験方法は未だ研究途上に

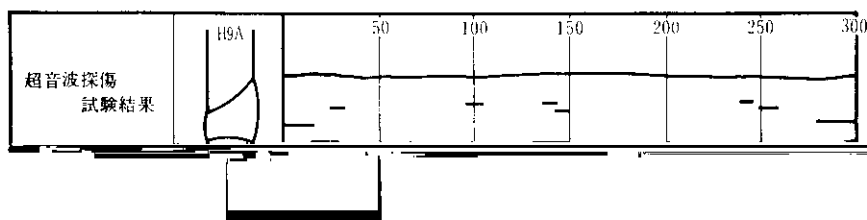


表 9 実際建築物の探傷結果

検査ヶ所	超音波 探傷結果	X 線 結 果		検査ヶ所	超音波 探傷結果	X 線 結 果	
		第1種	第2種			第1種	第2種
A 1-1	2	2	2	B 1-1	1	1	1
	2	1	1		2	2	4
	3	1	1		3	1	1
	4	1	1		4	1	1
A 2-2	1	1	2	B 2-1	1	2	1
	3	1	2		4	1	1
	3	1	1		4	3	4
A 3-2	1	1	1	B 3-1	1	1	1
	3	1	1		4	1	1
	3	1	2		4	1	1
A 4-2	1	2	1	B 4-1	1	1	1
	3	1	1		4	2	1
	4	1	1		4	1	1

(2) N D I (日本非破壊検査協会) の基準で

表 10 1層目 の 標準溶接条件

F B方式	手溶接	K S - 76	銅板および B F - 1(テープ)	4 ~ 7	4	140 ~ 180
			7 ~ 10		4 (2パス)	140 ~ 170
S B方式	手溶接	母材により適宜決定 ただしノーガス半自動 併用の場合はK S - 76	鋼裏あて金	4 ~ 7	4	160 ~ 190
			7 以上		5	190 ~ 250
	ノーガス半自動溶接	K O A - 1	鋼裏あて金	4 以上	3.2	380 ~ 450

- 5) 村田安房他：溶接技術，18（1970）9，75

- 7) 桜井怜：鉄骨構造の諸問題，（1970）99
8) 徳田忠明：溶接技術，（1968）12，29
9) 例えば，岡田実，鈴木春義：溶接冶金，（1969），13，〔産報〕

